

京都大学防災研究所 正員 友杉邦雄

1. まえがき 河道網系における洪水の形成過程の一般理論を確立するには複雑な河域の地形構造に内在する普遍的な統計的特性を明らかにすることも一つの要件と考えられる。本報告は、河道網の最小構成単位であるという意味で重要な枝路(link)に関する平面量(長さ, 付随面積等)の分布特性に注目し、滋賀県大戸川上流域(約90 km<sup>2</sup>)で計測した結果について、他の若干の報告資料と対比しながら、主に各量のあてはまる分布関数を探るとともに、Weibull確率紙によって枝路の形成過程の確率的特性を検討してみたものである。

2. 大戸川上流域における計測と解析

i) 水源の定義と計測法: 計測は1:50000の地形図によることにした。いつも問題となる水源(外部枝路の始点)の定義として、客觀性を重視して、最近Shreve<sup>17)</sup>が試みた外部枝路の勾配の上限を0.2とする方法を模倣した。当該地形図では等高線間隔が20mだから外部枝路長の下限を100mとしたわけである。図-1はこの定義に基づいて得たもので、その全ての外部・内部枝路の長さ、付隨面積の計測はグラフペーパーデータ解析システムという比較的精度の高い装置を用いて行った。

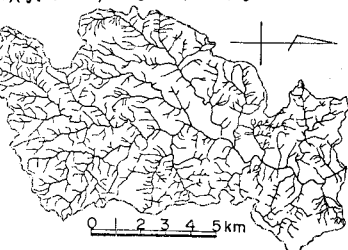


図-1. 大戸川上流域の河道網

ii) 長さと付隨面積の相関解析: 図-2は外部枝路(543本)について、長さ  $l_e$ (km)と付隨面積  $a_e$ (km<sup>2</sup>)の関係を両対数紙上にプロットしたもので、 $\log l_e$ と  $\log a_e$ の相関係数は0.735,  $\log l_e$ の  $\log a_e$ に対する回帰線(実線), その逆のもの(破線)はそれぞれ(1), (2)式のようになつた。なお、前述のように  $l_e$ の下限を0.1kmとしたためか、 $a_e$ の下限は0.01 km<sup>2</sup>程度となつていて。

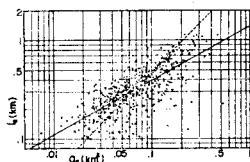
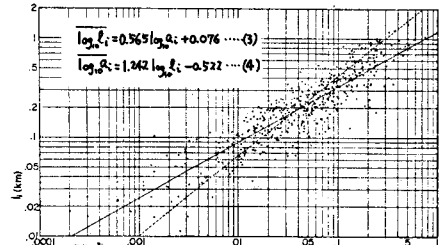
図-2.  $\log l_e$ と  $\log a_e$ の関係図-3.  $\log l_i$ と  $\log a_i$ の関係

図-3は内部枝路(542本)の長さ  $l_i$ (km)と付隨面積  $a_i$ (km<sup>2</sup>)について同様の関係を示したもので、相関係数は0.838,  $\log l_i$ の  $\log a_i$ に対する回帰線(実線), その逆のもの(破線)はそれぞれ(3), (4)式(図中)のようになつた。なお、計測不能なほど小さく、同図にのらない点が3つある。

iii) 内部枝路と外部枝路の平面量の度数分布の比較: 図-4(a)は  $l_e$ と  $l_i$ の度数分布の比較図である。

いざれも右側に歪んだよく似た形をしており、 $l_e$ のものはその下限値0.1kmだけ右へずらしたようになっている。平均値の比は  $\bar{l}_e/\bar{l}_i = 1.352$  となっている。

図-4(b)は  $a_e$ と  $a_i$ のもので、分布の形状は全く異つてゐるが、平均値の差はわずかで、 $\bar{a}_e/\bar{a}_i = 1.122$  となっている。つぎに、河川密度  $D = l/a$  と形状指数  $\phi = l^2/a = l/b$  ( $b = a/l$ : 平均幅)の度数分布の比較図も示しておく。図-5(a)が  $D_e$  と  $D_i$  のもので、かなり累っており、平均値の比は  $\bar{D}_e/\bar{D}_i = 0.598$  となっている。

図-5(b)が  $\phi_e$  と  $\phi_i$  のもので、これもかなり累っており、 $\bar{\phi}_e/\bar{\phi}_i = 1.387$  である。

3. 分布関数のあてはめと考察

i) 従来の説と考察: 度数1の河道である外部枝路については、計測例が比較的多く、 $l_e$ ,  $a_e$ 共に対数正規分布に従うといふのが定説のようになっている。図-6はここで得た  $l_e$ ,  $a_e$  の累積分布と、Shreve<sup>17)</sup>が1:4000の地形図で勾配0.2の制限なしで得た(Shreve(1)とす)  $l_e$ のもの、および勾配0.2の制限をつけて得た(Shreve(2)とす)  $l_e$ ,  $a_e$  のものを対数正規確率紙にプロットしたもので、いずれもほぼ直線状になつてゐる。問題

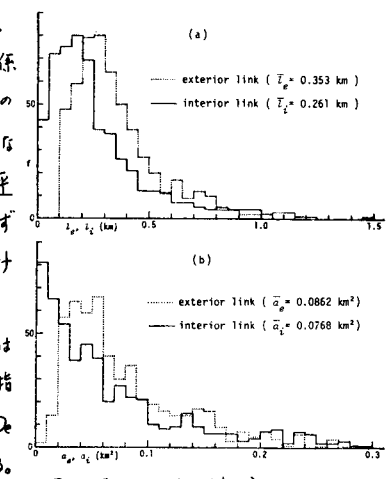


図-4. 長さと付隨面積の度数分布

は対数正規分布の物理的意義が明確でないといふことであろう。つぎに内部枝路であるが、 $a_i$ の計測例は極めて少なく、その分布形を記述した文献は見当らない。 $l_{ii}$ についてはガンマ分布説やSmartの指數分布説等がある。ここで得た $l_{ii}$ は形状母数が1.5のガンマ分布にはほぼ従う( $\chi^2$ レベル15%)が、形状母数が整数でないガンマ分布の物理的意義は明確でない。ところで、指數分布説は枝路の形成過程について、「河道に合流点ができる確率は合流点なしに経過した距離に無関係である」という仮定のもとに理論的に得たもので、その意味で興味深いが、この仮定は現実的でないようである。そこで、このような枝路の形成過程の確率的特性を比較的明確に把握できるWeibull確率紙によって、まず $l_{ii}$ について、ついで他の量についても拡張して検討してみた。

ii) Weibull確率紙による枝路の形成過程の検討: Weibull分布は信頼性理論の分野で故障率分布としてよく用いられ、その密度関数、超過確率はそれぞれ、  
 $f(x) = \lambda m x^{m-1} \exp(-\lambda x^m)$  ..... (5),  $1 - F(x) = \exp(-\lambda x^m)$  ..... (6) ( $x \geq 0, \lambda, m > 0$ ) で、この分布の特長は、 $F(x) = f(x)/(1 - F(x)) = (\lambda m x^{m-1}) / (1 - \exp(-\lambda x^m))$  ..... (7)、すなわち、 $x$ を枝路長と考へたとき、合流点なしに $x$ だけ経過したときに合流点ができる確率密度、が $x^m$ に比例するという簡単な形になり、Weibull確率紙上の直線の勾配が $m$ に相当する点にある。なお、信頼性理論の分野では、 $x$ は故障するまでの時間と表わし、 $0 < m < 1, m=1, m > 1$ に対し、それそれ、初期故障期、偶発故障期、磨耗故障期と判定される。

図-7が $l_{ii}$ の累積分布をWeibull確率紙にプロットしたもので、ここで得たものは3本の折線、他のものは1本の直線状(ただしクラス分けが粗いため詳細は不明)になっており、図中に示した $m$ の値がすべて $m > 1$ となっていることに気づく。すなわち、合流点なしに経過する距離が大きいほど合流点ができるやすくなることを意味する。図-8は $l_e, a_e, a_i$ について、その下限と思われる値を差引いたものの累積分布である。 $l_e$ については、ここで得たものとShreve(2)のものとでこまかい傾向は異っているが、下限値よりの経過距離が短いときは $m < 1$ で、かなり長くなると $2 > m > 1$ となっていく点で共通している。つぎに面積のものであるが、その形成過程の解釈は枝路長のように一次元的ではなく複雑で理解し難いが、とにかく、枝路長における経過距離と合流点に対応するような二次元的な「何か」があると拡大解釈することにしよう。まず、 $a_e$ のものの両者の共通点はここで得たもののが小さいところで $m < 1$ になっていて以外は $m > 1$ となっている点であろう。一方、 $a_i$ のものはその意味での共通点はないようである。なお、ここで得たものは $m = 0.87$ の1本の直線状にはっており、 $l_{ii}$ のものが $m < 1$ で直線ことがなかったことを考慮すると、「何か」は枝路長におけるものは若干異った性格のものようである。

(文献) 1)Shreve,R.L.:Variation of Mainstream Length with Basin Area in River Networks, Water Resources Research, vol.10, No.6, 1974. 2) Shreve,R.L.: Stream Lengths and Basin Areas in Topographically Random Channel Networks, Jour. of Geol., vol.75, 1967. 3) Smart,T.S.: Statistical Properties of Stream Lengths, Water Resources Research, vol.4, No.5, 1968.

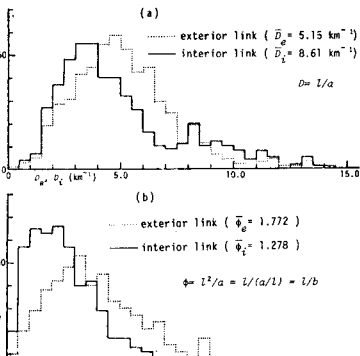


図-5. 河川長度と形狀指數の頻度分布

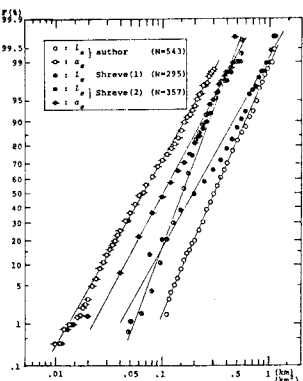


図-6.  $l_e, a_e$ の累積分布(対数正規確率紙)

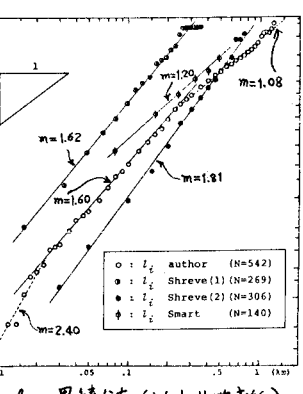


図-7.  $l_i$ の累積分布(Weibull確率紙)

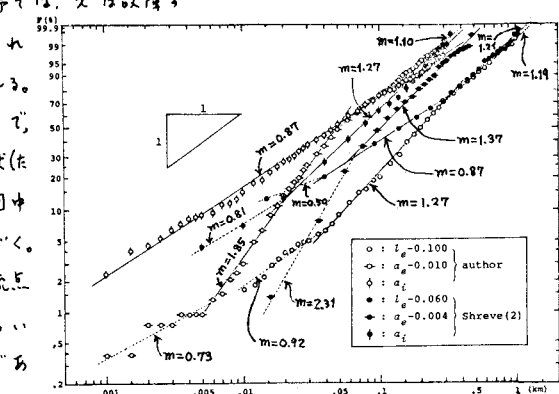


図-8.  $l_e, a_e, a_i$ より下限値を引いたものの累積分布(Weibull確率紙)